

Aynı Aileden X'e Bağlı Juvenil Retinoskizisi Üç Olguda Optik Koherens Tomografi Bulguları

Optical Coherence Tomography Findings in Three Cases of X-Linked Juvenile Retinoschisis in the Same Family

Eylem YAMAN PINARCI¹, Gamze ÖZTÜRK KARABULUT¹, Berna DEMİREL¹, Zeynep ALKIN¹, Çiğdem ALTAN¹, Sinan ALBAYRAK¹, Serhat İMAMOĞLU¹

Olgu Sunumu

Case Report

Öz

Bu çalışma X'e bağlı juvenil retinoskisis'i (XLRS) bulunan aynı aileden üç olguda görülen farklı optik koherens tomografi (OCT) bulgularını rapor etmek için yapıldı.

Görmesinde azalma ve şaşılık şikayetiyle başvuran 16 yaşındaki hastaya fundus muayenesini takiben OCT, FFA ve elektrofizioloji yapılarak XLRS ön tanısı konulduktan sonra aynı aileye mensup görme azlığı olan bireyler muayene edildi. Hastanın birinci derece (kardeş) ve ikinci derece akrabası olan (teyze çocuğu) iki erkek akrabasında da benzer bulgular saptandı.

OCT'de olgularda sırasıyla foveanın merkezinde nörosensorial retinayi ayıran hiporeflektif kistoid alanlar ile perifoveal bölgede iç ve dış retina katları arasında köprülerle ayrılan küçük kistikler; pigment epitel katında reflektivite artışına neden olan atrofik retinal değişiklikler; atrofik değişikliklerle beraber perifoveal alanda iç ve dış retina katları arasında köprülerle ayrılan küçük kistik boşluklar saptandı. Bu bulgular OCT'nin özellikle erken ve şüpheli XLRS'li olguların tanısında değerli bilgiler verdiği göstermektedir.

Anahtar Kelimeler: X'e bağlı juvenil retinoskisis, XLRS'de OCT.

ABSTRACT

The aim of this study is to report the different findings in optical coherence tomography (OCT) of three patients from the same family diagnosed with X-linked juvenile retinoschisis (XLRS). A 16-year-old boy complaining of visual deterioration and strabismus was diagnosed with XLRS on the basis of a fundus examination followed by OCT, FFA, and electrophysiology studies. Two other patients in the same family suffering from diminished vision were also invited for evaluation. One first degree relative (brother) and one second degree relative (cousin) of the patient also had similar findings.

OCT revealed consecutively wide hyporeflective cystoid spaces that split the neurosensory retina at the center of the fovea and small cystic spaces that formed bridges between the outer and inner retinal layers in the perifoveal area, atrophic retinal changes with increased reflectivity of the pigment epithelial layer and accompanying small cystic spaces that formed bridges between the outer and inner retinal layers perifoveally. These findings demonstrated that OCT is useful in the diagnosis of XLRS, especially in early and suspected cases.

Key Words: X-linked juvenile retinoschisis, OCT, XLRS.

Ret-Vit 2007;15:287-291

Geliş Tarihi : 02/04/2007
Kabul Tarihi : 22/05/2007

Received : April 02, 2007
Accepted: May 22, 2007

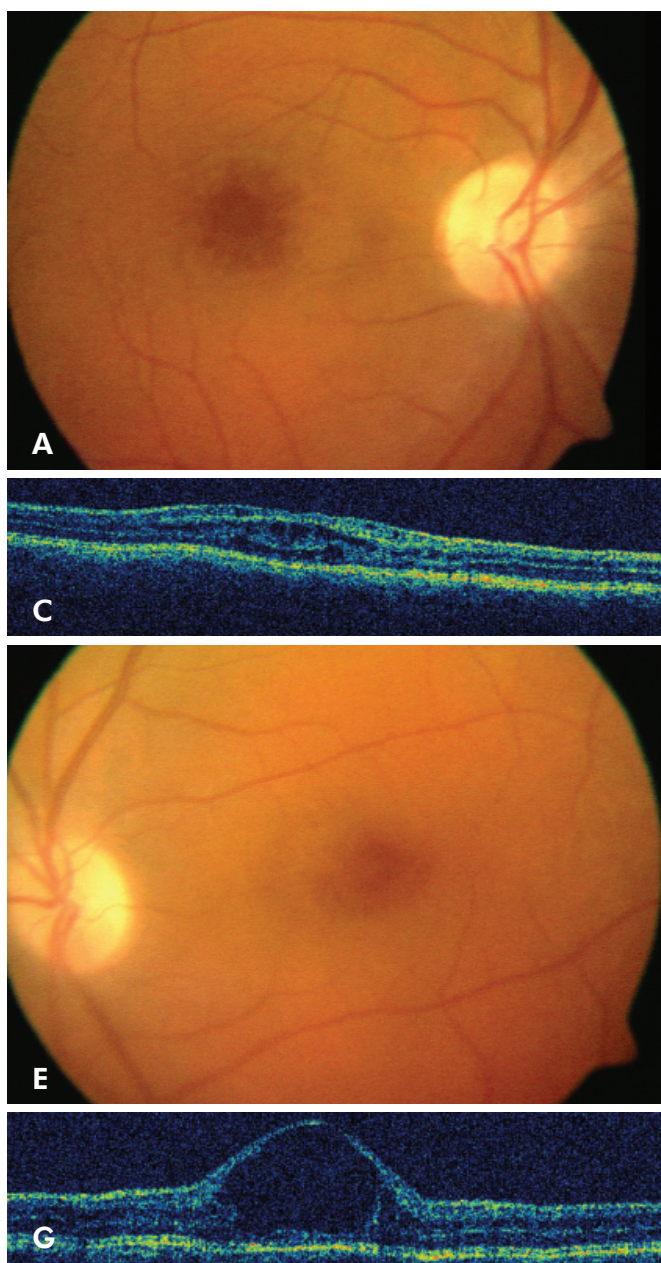
1- Beyoğlu Göz Eğitim Araştırma Hastanesi, İstanbul, Uzm. Dr.

1- M.D., Beyoğlu Eye Education and Research Hospital, İstanbul/TURKEY
PINARCI E.Y., dreymaman@hotmail.com
KARABULUT G.Ö., gozturk2911@yahoo.com
DEMİREL B., bdemirel@hotmail.com
ALKIN Z., ztalkin@tnet.net.tr
ALTAN Ç., cigdem_altan@yahoo.com
ALBAYRAK S.,
İMAMOĞLU S.,
Correspondence: M.D., Eylem YAMAN PINARCI
Beyoğlu Eye Education and Research Hospital, İstanbul/TURKEY

GİRİŞ

X'e bağlı juvenil retinoskisis, XLRS1 geniyle bağlantılı olarak makulada yıldız biçimli çizgilenmeye, retina içinde katlar arasında ayrılmaya ve vitreusta değişikliklere neden olan, resesif kalitimla geçiş gösteren bir vitreoretinal dejenerasyondur.¹ Bazı olgularda, erişkin çağda kistik değişikliklerin kaybı ve alttaki retina pigment epitelinde değişiklikler ve daha geç safhalarda makulada atrofik değişiklikler görülebilmektedir. Olguların %50'sinde periferik retinada da retinoskisis saptanabilmektedir.^{2,3}

Histopatolojik çalışmalar, anormal bipolar hücreleri ve fotoreseptörler tarafından salgılanan anormal retinosizinin müller hücrelerinde fonksiyon bozukluğuna neden olarak sinir lifi tabakasında ayrışmalara neden olduğu gösterilmiştir.^{4,5}



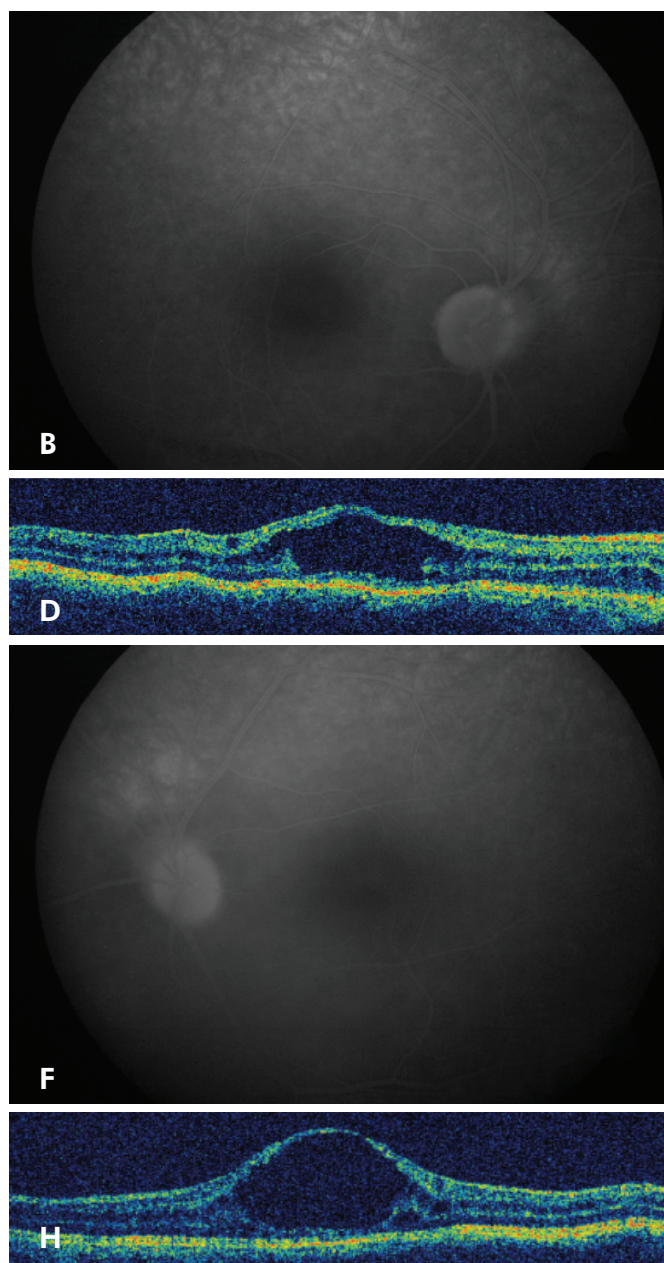
Resim 1: Birinci olgunun fundus fotoğrafında makulada yıldız biçimli çizgilenme (1a, 1e), FFA'da sağda patoloji yok, solda geç evrede optik diskte skleral boyanma (1b, 1f), OCT'de perifoveal bölgede iç ve dış retina katları arasında köprüleşmeliere neden olan küçük kistik boşluklar(1c-parasantral, 1d-santral) ve fovea merkezinde nörosensoryal retinayı katlara ayıran geniş hiporeflektif kistoid alanlar (1g, 1h) saptanmıştır.(Santral maküler kalınlık sağda 250, solda 641 mikron).

Tasman ve ark. belirttiği gibi, makulanın tipik taç yaprağı görünümü kaybolduğunda, OCT klinik olarak görülemeyen kistik değişiklikleri göstermeye yardımcı olmaktadır.⁶ Nöral retinadaki ayılma planının nükleer tabakalar arasında bulunan dış pleksiform tabakada olduğu Özdemir ve ark tarafından ilk defa 5 yaşında bir erkek çocukta OCT ile gösterilmiştir.⁷

OLGU SUNUMU

Olgı 1:

On altı yaşındaki olgu sağ gözünde şashılık ve görme azlığı şikayetiyle kliniğimize başvurdu. Olgunun sağ gözünde ezotropya tespit edildi (Hirschberg 30°). En iyi düzeltilmiş görme keskinliği sağ gözde el hareketi, sol



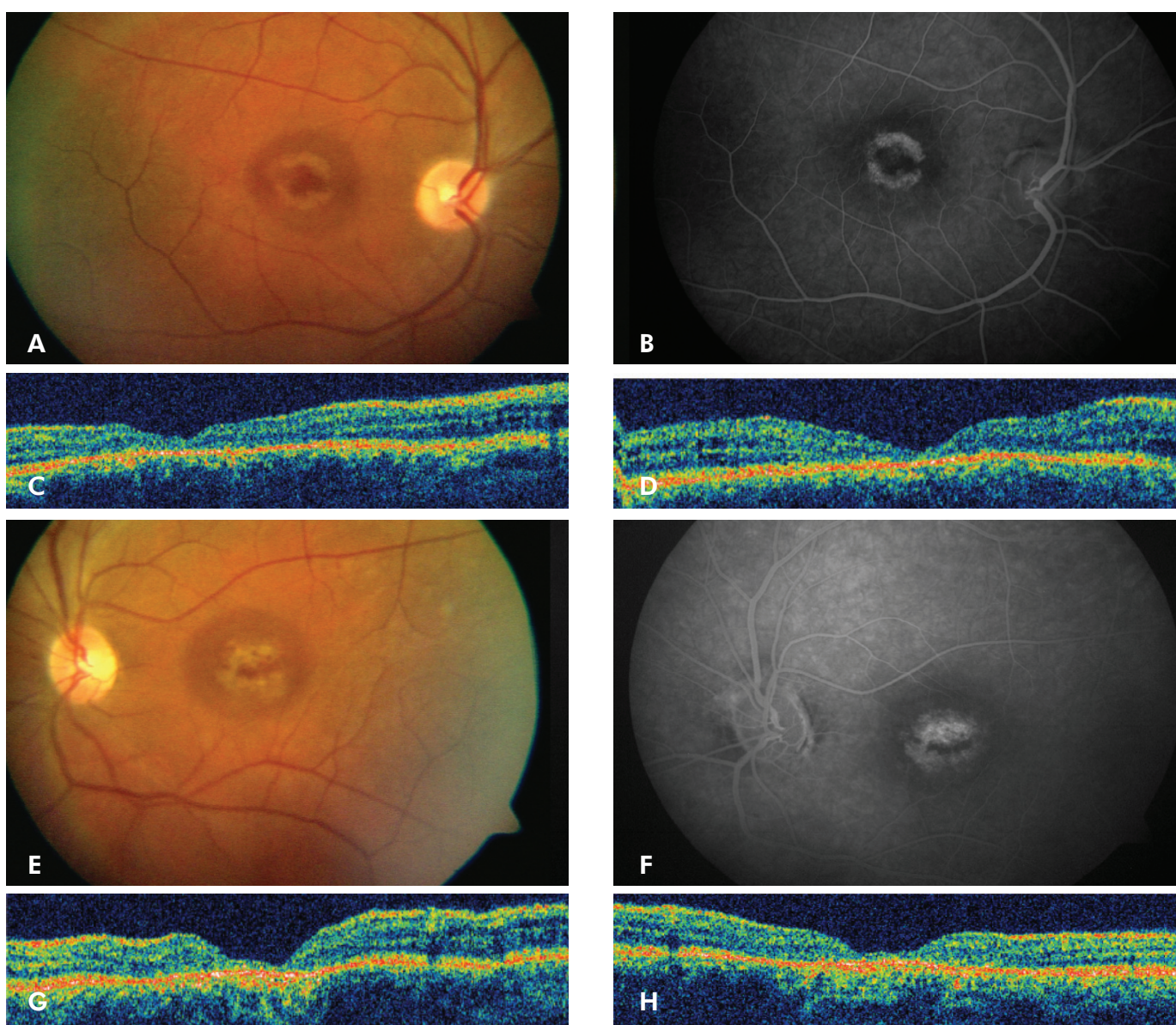
gözde ise 20/100 olarak saptandı. Biomikroskopik muayenede her iki gözde alt temporalde lokalize kortikal katarakt mevcuttu. Dilate fundus muayenesinde, hastanın her iki gözünde vitreusta opasite ve makülda kistoid boşluklara bağlı olarak yıldız biçimli çizgilenme görüldü. Ayrıca sol gözde saat 5 ve 7 hizasında üzerinden damar geçen iki retinal yırtığın etrafı profilaktik olarak argon lazer ile çevrelendi. Her iki gözde alt temporal ekvator bölgesinde retinada sarı parlak refleks saptandı. Fundus floresein angiografide hem erken hem de geç fazlarda boyalı göllennmesi veya sizıntıya rastlanmadı. Fakat sol gözde optik diskte geç fazlarda az miktarda boyanma görüldü. OCT'de (Carl Zeiss Ophthalmic System Inc., Humphrey Division, Dublin, California, USA) fovea merkezinde nörosensorial retinayı katlara ayıran geniş hiporeflektif kistoid alanla perifoveal bölgede iç ve dış retina katları arasında köprüleşmelere neden olan küçük kistik

boşluklar olduğu gösterildi (Resim 1). Flaş ERG'de ise a dalgası genliğinin normalin altında olduğu, fakat b dalgasının genliğinin belirgin olarak düşüğü ve buna bağlı b/a oranının da azalduğu gözlandı.

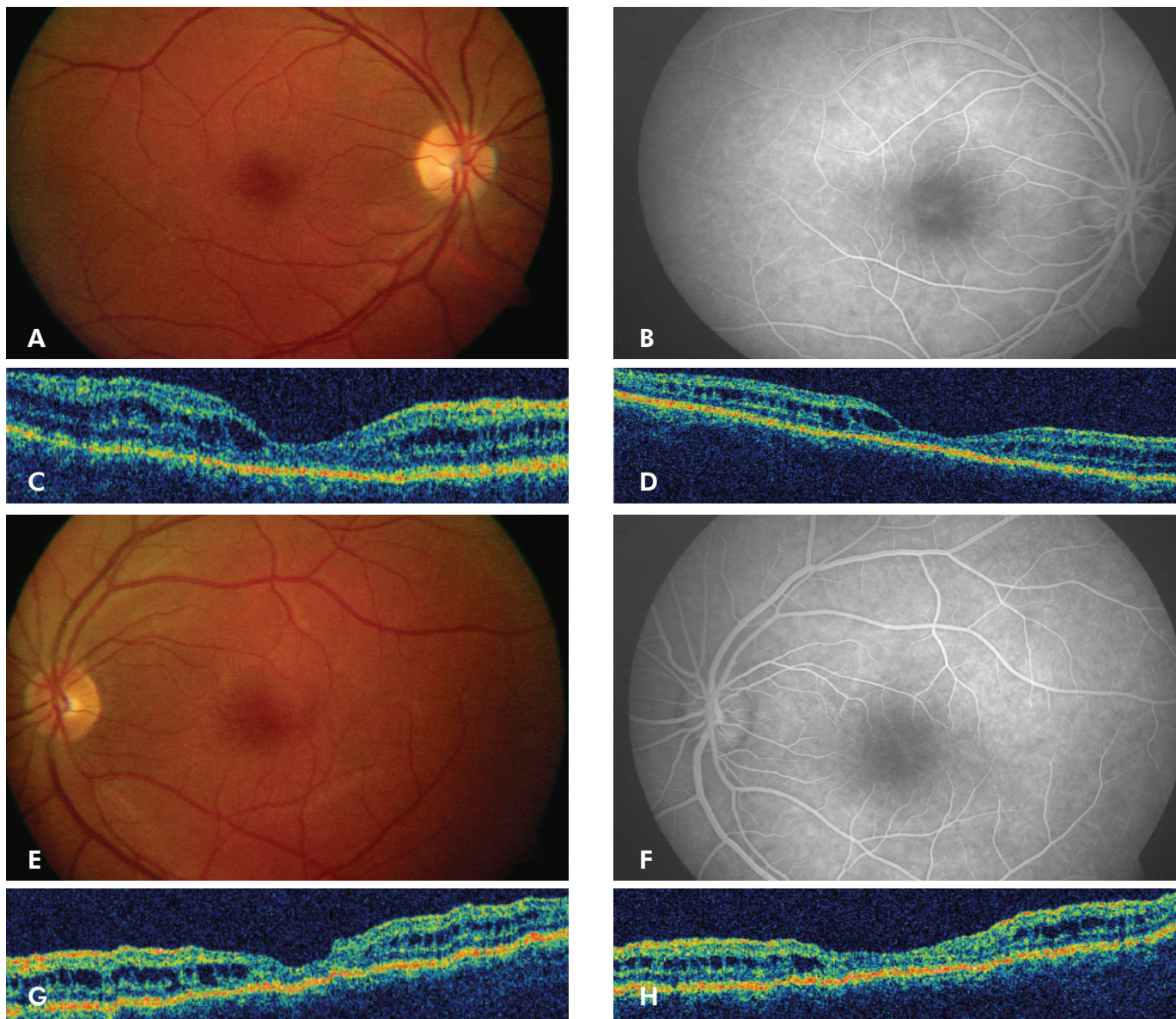
Olgunun ön tanısı XLRS olarak düşünülerek görme azlığı şikayeti olan erkek kardeşi ve bir kuzeni de muayeneye çağrıldı.

Olgu 2:

Yirmi sekiz yaşındaki olgu özellikle son on yılda gitikçe artan görme kaybından şikayetçi idi. En iyi düzeltilmiş görme keskinliği her iki gözde 20/200 seviyesindedir. Biomikroskopik muayenesinde patolojik bir bulguya rastlanmadı. Dilate fundus muayenesinde, olgunun her iki gözünde pigment epitel değişiklikleri ile beraber atrofik makula lezyonları ve radial çizgilenmeler, vitreusta tül şeklinde opasite ve üst temporal ekvator bölgesinde



Resim 2: İkinci olgu'nun fundus fotoğrafında pigment epitel değişiklikleri ile beraber atrofik makular lezyonlar (2a, 2e), FFA'da makulada atrofiye bağlı pencere defekti (2b, 2f), OCT'de atrofik retinal değişikliklere bağlı olarak pigment epitel tabakasında artmış reflektivite ve perifoveal bölgede iç ve dış retina katları arasında köprüleşmelere neden olan küçük kistik boşluklar (2c, 2d, 2g, 2h) saptanmıştır (Santral maküler kalınlık sağda 147, solda 124 mikron).



Resim 3: Üçüncü olgu'nun fundus fotoğrafında perifoveal kistoid boşluklarla çevrili atrofik makular lezyonları (3a, 3e), FFA'da makulada pencere defekti (3b, 3f), OCT'de foveadaki atrofik değişikliklere bağlı pigment epitel tabakasının artmış reflektivitesi ve perifoveal alanda iç ile dış retina katları arasında köprüleşme oluşturan küçük kistik boşluklar ve iç retina katlarında artmış reflektivite (3c, 3d, 3g, 3h) saptanmıştır (Santral maküler kalınlık sağda 142, solda 162 mikron).

retinada sarı parlak refleks saptandı. B- mod ultrasonografisinde arka vitre dekolmanı ve vitreusta opasite görüldü. FFA bulgusu olarak makulada atrofiye bağlı pencere defekti dışında patolojiye rastlanmadı. Olgunun OCT tetkikinde atrofik retinal değişikliklere bağlı olarak pigment epitel tabakasında artmış reflektivite görüldü (Resim2). Flaş ERG'de birinci olguya benzer bulgular saptandı.

Olgu 3:

Yirmi beş yaşında erkek olgunun kliniğimize başverdiği son beş yılda gittikçe artan görme kaybı mevcuttu. En iyi düzeltilmiş görme keskinliği sağ gözde 20/200 ve sol gözde 20/100 idi. Ön segment muayenesinde patolojik bulguya saptanmadı. Olgunun dilate fundus muayenesinde bilateral perifoveal kistoid boşluklarla çevrili atrofik makula lezyonları mevcuttu. FFA tetkikinde makulada pencere defekti saptandı. OCT'de foveada-

ki atrofik değişikliklere bağlı pigment epitel tabakasının artmış reflektivitesi ve perifoveal alanda iç ve dış retina katları arasında köprüleşme oluşturan küçük kistik boşluklar görülmekteydi (Resim3). Flaş ERG'de iki olguya benzer bulgular saptandı.

TARTIŞMA

X'e bağlı juvenil retinoskizis hastalığının klinik tablosu aileden aileye değişmekle beraber aynı aile içindeki fertler arasında da değişmekteydi. Olgularda her iki göz etkilendiktedir, bunun yanında hastalığın ilerleyışı etkilenen olguların gözleri arasında da farklılık gösterebilir. Hastalığın ilerleyışı ilk beş yılda genellikle hızlı olup sonra yavaşlar, sıklıkla ikinci dekatta ise durağan halini alır.³ FFA paterni geç fazlarda sizıntı olmaması ile kistoid makula ödeminden ayılır. Hastalığın diğer bulguları

arasında kan damarlarının etrafında kılıflanma, retina iç katlarında dendritik dejenerasyon ve parsiyel optik atrofi bulunmaktadır.³ İlk olguda angiografinin hiçbir fazında makulada sizıntı saptanmazken sol gözde geç fazda muhtemel optik atrofiye bağlı optik sinir başında boyanma saptandı. İkinci ve üçüncü olgularda atrofi ve pigment epitel hasarı nedeniyle her iki gözde pencere defekti görüldü.

OCT özellikle hastalığın erken evrelerinde nörosensorial retinadaki ayrılma planını ve retinal elemanlar arasındaki köprüleşmeyi göstermesi bakımından teşhis koymada biyomikroskopik muayeneye üstündür.⁸ OCT'de merkezdeki kistikler daha fusiform haldeyken, küçük kistikler daha periferde saptanmaktadır. İlk olguda görüldüğü gibi kist duvarları birleşip geniş bir kist oluşturabilir. Kistik değişikliklerin kaybolması ve alttaki pigment epitelindeki değişimler ikinci ve üçüncü olguda olduğu gibi atrofik makular lezyonlara yol açabilmektedir.

Shanmugam ve ark. retina dekolmanına sebep olan vitreomakuler traksiyona bağlı makuler delik gelişen bir olgu bildirmiştir.⁹ Bizim ikinci olgumuzda arka vitre dekolmanı ve vitrede tül şeklinde bulanıklık saptanması na rağmen hiçbir olgumuzda lamellar veya tam kat makula delik saptanmamıştır.

Elektroretinografide XLRs teşhisinde faydalıdır. Bu hastalıkta a dalga genliği normal veya normale yakın iken b dalga genliği belirgin olarak düşüktür.³ Hastalığın ilerleyen evrelerinde fotozeptörler etkilendiğinde, hem a dalgası hem de b dalgası etkilenecek aşırı bir düşme görülür. Müller hücrelerinin b dalgasının başlamasında önemli rol oynadığı düşünülmesi bu hastalığın primer müller hücre fonksiyon bozukluğuna bağlı olduğu yönünde bir kanıt olarak görülmüştür.³ Bizim olgularımızın tanısı ileri yaşlarda konulduğundan hem a hem de b dalga genlikleri çok düşük olarak saptanmıştır.

Bu çalışmada farklı retina bulguları olan iki kardeş ve bir kuzen rapor edildi. Hastalığın kesin tanısı genetik incelemeyle konulmakla ve bu inceleme çok az merkezde yapılmakla birlikte, OCT'nin özellikle erken ve şüpheli olgularda teşhiste son derece faydalı bilgiler veren bir tanı aracı olduğunu düşünmektediriz.

KAYNAKLAR/REFERENCES

1. The Retinoschisis Consortium. Functional implications of the spectrum of mutations found 234 cases with X-linked juvenile retinoschisis (XLRs). *Hum Mol Genet.* 1998;7:1185-1192.
2. Gass JDM: Stereoscopic atlas of macular diseases, 4th ed, St Louis: Mosby. 1997;372-376.
3. Joseph E, Robertson Jr, S Martha Meyer: Hereditary vitreoretinal degenerations: Congenital hereditary retinoschisis. In Ryan SJ: *Retina* The CV Mosby Co. St. Louis. 1989;472-473.
4. Manschot WA: Pathology of hereditary juvenile retinoschisis. *Arch Ophthalmol.* 1972;88:131.
5. Weber BH, Schrewe H, Molday LL, et al.: Inactivation of the murine X-linked juvenile retinoschisis gene, Rslh, suggests a role of retinoschisin in retinal cell layer organisation and synaptic structure. *Proc Natl Acad Sci USA.* 2002;99:6222-6227.
6. Pangia KA, McCabe FJ, Tasman W.: Full-thickness retinal breaks in X-linked retinoschisis. *Saudi J Ophthalmol.* 2002;16:125-131
7. Özdemir H, Karacorlu S, Karacorlu M: Optical coherence tomography findings in familial foveal retinoschisis. *Am J Ophthalmol.* 2004;137:179-181.
8. Stanga PE, Chong NH, Reck AC, et al.: Optical coherence tomography and electrophysiology in X-linked juvenile retinoschisis associated with a novel mutation in the XLRs1 gene. *Retina.* 2001;21:78-80.
9. Shanmugam MP, Nagpal A.: Foveal schisis as a cause of retinal detachment secondary to macular hole in juvenile X-linked retinoschisis. *Retina.* 2005;25:373-375.